

# 中华绒螯蟹眼柄 MTXO 细胞 GABA 受体通道研究\*

孙金生<sup>1,2)</sup> 高春蕾<sup>1)</sup> 相建海<sup>1) \*\*</sup>

(<sup>1</sup>) 中国科学院海洋研究所, 青岛 266071; <sup>2</sup> 天津师范大学化学与生命学院, 天津 300074)

**摘要** 采用全细胞膜片钳技术测定了中华绒螯蟹 (*Eriocheir sinensis*) 眼柄视神经节端髓 X 器官 (MTXO) 三种类型神经内分泌细胞对 0.01~5 mmol/L  $\gamma$ -氨基丁酸 ( $\gamma$ -aminobutyric acid, GABA) 的反应, 并结合选择性拮抗剂和激动剂的使用进行了 GABA 受体研究。在电流钳模式下, 依据不同 Nernst  $\text{Cl}^-$  电位, 三种类型细胞均对 GABA 产生去极化或超级化反应。在电压钳模式下, GABA 激活  $\text{Cl}^-$  通道电流 ( $I_{\text{GABA}}$ ).  $I_{\text{GABA}}$  在灌流 GABA 后约 1 200 ms 内激活, 800 ms 内达到峰值, 没有明显的脱敏反应, 反转电位接近 Nernst  $\text{Cl}^-$  电位。 $I_{\text{GABA}}$  幅值呈浓度依赖性, 激活阈值为 0.01 mmol/L, 约在 0.5 mmol/L 达到饱和。药理学实验结果表明, 中华绒螯蟹眼柄神经内分泌细胞 GABA 受体是  $\text{Cl}^-$  通道蛋白, 对  $\text{Cl}^-$  离子通道阻断剂 Picrotoxin 和 Niflumic acid 敏感, 但是对  $\text{GABA}_A$  受体拮抗剂 Bicuculline 和  $\text{GABA}_C$  受体激动剂 *cis*-4-aminocrotonic acid (CACA) 和 *trans*-4-aminocrotonic (TACA) 均不敏感。

**关键词** 中华绒螯蟹, MTXO, 神经内分泌细胞,  $\gamma$ -氨基丁酸, 全细胞膜片钳技术

**学科分类号** Q424, Q26

$\gamma$ -氨基丁酸 ( $\gamma$ -aminobutyric acid, GABA) 是哺乳动物和一些无脊椎动物中枢神经系统、肌肉及腺体组织中主要抑制性神经递质或神经调质。在哺乳动物中, GABA 主要通过细胞膜上存在的 A、B、C 三种类型受体发挥作用。GABA<sub>B</sub> 受体通过 G 蛋白和细胞内第二信使与钙离子通道或钾离子通道偶联<sup>[1]</sup>; GABA<sub>A</sub> 和 GABA<sub>C</sub> 受体是配体门控氯离子通道<sup>[2,3]</sup>。近年来, GABA 在甲壳动物中的分布和作用也受到人们的普遍关注<sup>[4]</sup>。一些研究结果表明, 不同的物种或不同的组织对 GABA 的反应不同。如黄道蟹 (*Cancer borealis*) 胃上神经节大部分细胞对 GABA 产生兴奋性反应, 少数细胞产生抑制性反应<sup>[5]</sup>。

眼柄视神经节 X 器官-窦腺复合体 (XO-SG) 是甲壳动物的内分泌调控中心, 类似于哺乳动物的下丘脑-垂体系统, 分泌甲壳动物高糖激素 (CHH)、蜕皮抑制激素 (MIH)、性腺发育抑制激素 (GIH) 等多种神经肽类激素, 调控甲壳动物的生殖、发育和蜕皮等重要生理功能<sup>[6]</sup>。对这一系统生理活动和细胞分泌调控的研究, 不仅可丰富甲壳动物内分泌学理论, 还将使人们在生产上控制甲壳动物的生长和繁殖成为可能。虽然 GABA 作为递质或调质物质广泛地存在于甲壳动物体内, 由于受细胞培养材料的限制, 至今仅观察了克氏原螯虾 (*Procambarus clarkii*) 分泌红色素聚集激素 (RPCH) 细胞和热带地蟹 (*Cardisoma carnifex*)

分泌 CHH 细胞对 GABA 的反应<sup>[7,8]</sup>。关于 GABA 对甲壳动物眼柄神经内分泌细胞的调控作用尚缺乏全面了解, 更不清楚 GABA 受体特性。中华绒螯蟹 (*Eriocheir sinensis*) 俗称河蟹, 是我国主要养殖经济蟹类之一。我们在对河蟹眼柄 XO-SG 神经内分泌系统组织学、细胞培养和电生理特征研究的基础上<sup>[9~11]</sup>, 采用全细胞膜片钳技术观察河蟹眼柄 MTXO 神经内分泌细胞对 GABA 的反应, 为进一步研究眼柄神经肽类激素的分泌调控机制打下基础。

## 1 材料和方法

### 1.1 动物解剖、免疫细胞化学和细胞培养

实验动物为取自天津和山东的养殖蟹种, 壳宽为 2.1~2.4 cm。置室内水泥池暂养。选取附肢健全的健康蟹种, 经低温“麻醉”后, 取下眼柄。供免疫细胞化学实验的样品先于 4℃ 固定 2 h (固定液为含 0.35 mol/L 蔗糖, 0.1 mol/L 磷酸缓冲液配制的 4% 多聚甲醛), 然后在无菌河蟹生理盐水中剥离外骨骼、肌肉和连接组织, 取出视神经节, 于 4℃ 固定 24 h。PBS 缓冲液 (含 0.35 mol/L 蔗糖和

\* 国家自然科学基金资助项目 (30271019) 和国家重点基础研究资助项目 (G1999012007)。

\*\* 通讯联系人。

Tel: 0532-2862223, E-mail: jhxiang@ms.qdio.ac.cn

收稿日期: 2002-08-16, 接受日期: 2002-09-28

1% Triton X-100 的 0.1 mol/L PBS) 冲洗后, 进行抗体染色。一抗为 1:5000 稀释的兔抗 CHH 和 MIH 抗体, 二抗为 1:40 稀释的 FITC 标记的羊抗兔 IgG。实验设阳性和阴性对照, 用激光共聚焦显微镜进行连续光学切片观察, 切片厚度 5  $\mu\text{m}$ 。细胞培养方法详见文献 [10]。选取培养 2 天细胞, 按上述免疫细胞化学染色方法进行不同类型培养细胞的功能鉴定。

### 1.2 膜片钳实验和数据的采集、处理

本文采用 EPC9 膜片钳放大器 (HEKA Elektronik, Germany), 在电流钳和电压钳两种模式下, 测定河蟹眼柄神经内分泌细胞对 GABA 的反应。实验在室温 (22~26 °C) 下进行, 用高阻封接全细胞膜片钳技术记录电信号。数据的采集和储存均通过 PULSE 软件完成, 用 Igor 软件进行数据分析。玻璃电极毛坯为 WPI 公司生产的薄壁毛细管 (1B150F-4), 充灌内液后电极电阻为 3~5 M $\Omega$ 。用硅酮树脂涂敷电极尖端以减低噪声干扰。快、慢电容为自动补偿, 串联电阻补偿至最佳。标准高浓度 Cl<sup>-</sup> 电极内液为: 200 mmol/L KCl, 5 mmol/L NaCl, 5 mmol/L MgCl<sub>2</sub>, 20 mmol/L HEPES, 5 mmol/L ATP-2Na<sup>+</sup>, 5 mmol/L BAPTA, KOH 调至 pH 7.5。用 K<sub>2</sub>SO<sub>4</sub> 部分取代 KCl 配制不同 Nernst Cl<sup>-</sup> 电位 ( $E_{\text{Cl}}$ ) 的低浓度 Cl<sup>-</sup> 电极内液。标准细胞外液为添加 20 mmol/L 葡萄糖的无菌河蟹生理盐水。

### 1.3 药品及加药方法

GABA、Picrotoxin (PTX)、Niflumic acid (NIA)、Bicuculline、*cis*-4-Aminocrotonic acid (CACA) 和 *trans*-4-aminocrotonic (TACA) 为 Sigma 公司产品, 用细胞外液于实验前配成所需浓度。其他试剂为国产分析纯。实验采用美国 ALA 科学仪器公司生产的 16 通道快速加药系统进行加药。加药过程由计算机控制, 用操纵器操纵尖端直径为 50  $\mu\text{m}$  的加药头至细胞约 50  $\mu\text{m}$  处, 压力加药 (68.9 kPa), 可在数毫秒内快速将 16 个储液槽中的任何一种药品浸浴整个选定细胞。

## 2 结 果

### 2.1 河蟹眼神经内分泌细胞对 GABA 的反应

河蟹眼柄视神经节自上而下分为外髓、内髓、端髓 (图 1a)。眼柄神经内分泌细胞聚集在端髓腹面基部外侧, 构成了 X 器官 (MTXO)。这些细胞均为单轴突细胞, 发出的轴突形成一条轴路, 进入

端髓与内髓交接处背侧的窦腺 (图 1b)。依据大小、形态和体外生长方式, 河蟹眼柄 MTXO 细胞分为 A、B、C 三种类型<sup>[10]</sup>。免疫标记结果显示, A、B 型细胞分别对抗 CHH 抗体和抗 MIH 抗体呈免疫阳性反应。C 型细胞的功能尚需进一步确定。电生理特征比较结果表明, A 型细胞膜电容 ( $21 \pm 6$  pF ( $n=5$ ) 显著高于 B 型细胞 ( $15 \pm 4$  pF ( $n=5$ ) 和 C 型细胞 ( $11 \pm 5$  pF ( $n=5$ )) ( $P < 0.01$ )。三种类型细胞的静息电位无明显区别 ( $P > 0.5$ )。A 型细胞为 ( $-52 \pm 3$ ) mV ( $n=8$ ), B 型细胞为 ( $-49 \pm 4$ ) mV ( $n=5$ ), C 型细胞为 ( $-54 \pm 6$ ) mV ( $n=6$ )。在 5 min 的记录时间内, 未观察到三种类型细胞的自发放电现象, 但三种细胞均对去极化电流刺激产生超射动作电位, A 型细胞的诱发放电频率 ( $17 \pm 9$ ) Hz ( $n=5$ ) 显著高于 B 型细胞 ( $9 \pm 5$ ) Hz ( $n=5$ ) 和 C 型细胞 ( $6 \pm 3$ ) Hz ( $n=5$ ) ( $P < 0.01$ )。

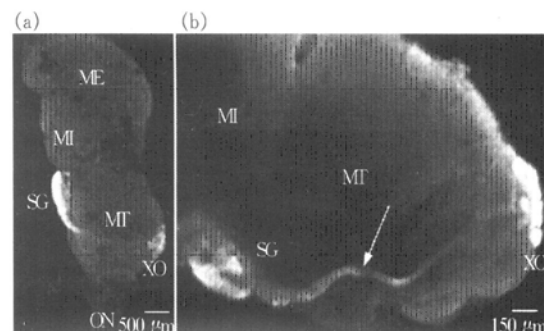
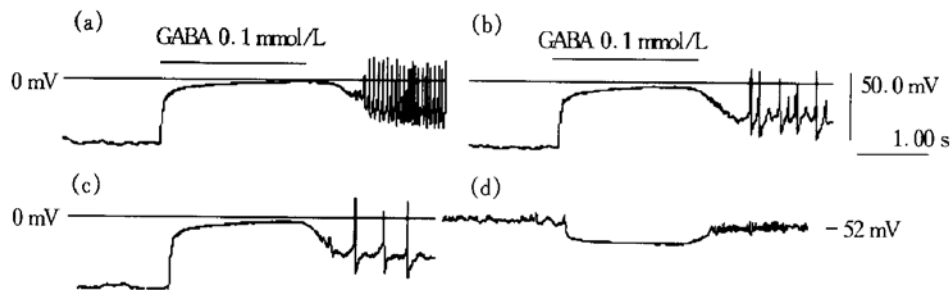


Fig. 1 The whole mount immunolocalization of XO-SG system in the eyestalks of *Eriocheir sinensis* with anti CHH serum

(a) Optic ganglion was composed of ME, MI, MT. (b) X-organ neurosecretory somata were located on the proximal surface of MT, their axons comprised an axon tract running to the sinus gland situating dorso-laterally at the transition of MI and MT. MT: medulla terminalis; MI: medulla interna; ME: medulla externa; XO: X organ; SG: sinus gland; ON: optic nerve; Arrow: axon tract.

在全细胞电流钳模式下, 将膜电流钳制在 0 pA, 使细胞处于静息不活动状态。选取培养 2 天, 形态特征典型的 A、B、C 三种类型细胞, 灌流 0.1 mmol/L GABA, 观察河蟹眼柄神经内分泌细胞对 GABA 的反应。实验结束后, 再经免疫细胞化学染色进一步确定细胞的类型和功能。结果表明, 使用高浓度 Cl<sup>-</sup> 内液, 灌流 GABA 后约 1300 ms, 三种类型细胞均对 GABA 产生去极化反应, 并引发动作电位。由图 2 可见, A 型细胞产生的去极化电压为 ( $36 \pm 3$ ) mV ( $n=8$ ), B 型细胞为 ( $35 \pm 2$ ) mV ( $n=5$ ), C 型细胞为 ( $34 \pm 5$ ) mV ( $n=6$ )。将标准

高浓度  $\text{Cl}^-$  的细胞内液更换为含不同浓度  $\text{Cl}^-$  的低浓度  $\text{Cl}^-$  细胞内液, 进一步观察河蟹眼柄神经内分泌细胞对 GABA 的反应。对 15 个 A 型细胞、12 个 B 细胞和 12 个 C 型细胞的观察结果表明, 当  $E_{\text{Cl}}<-60 \text{ mV}$ , 灌流 GABA 均使三种类型细胞产生超级化反应 (图 2d)。这一结果提示, GABA 的生理作用为抑制河蟹眼柄神经内分泌细胞的兴奋和分泌活动。



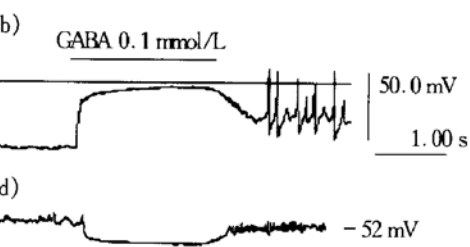
**Fig. 2 The depolarization and hyperpolarization were evoked from the three types of neurosecretory cells in response to the GABA (0.1 mmol/L) depending on the Nernst  $\text{Cl}^-$  potential**

(a), (b), (c) revealed the responses of cell type A, B, C to the GABA respectively, when the standard intracellular solution ( $E_{\text{Cl}}=-4 \text{ mV}$ ) was used. (d) revealed the response of cell type A to GABA when the low  $\text{Cl}^-$  intracellular solution ( $E_{\text{Cl}}=-65 \text{ mV}$ ) was used.

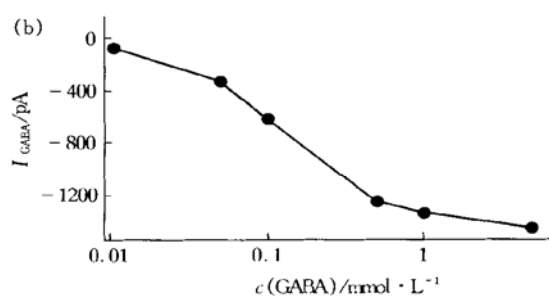
## 2.2 GABA 激活 $\text{Cl}^-$ 通道电流

形成全细胞电压钳构型后, 将保持电压钳制在  $-50 \text{ mV}$ , 分别灌流  $0.01 \sim 5 \text{ mmol/L}$  GABA, 观察河蟹眼柄 MTXO 三种类型细胞对 GABA 的反应。结果表明, 使用标准高浓度  $\text{Cl}^-$  细胞内液, 三种类型细胞均激活内向电流 ( $I_{\text{GABA}}$ )。电流特征无明显区别, 在灌流 GABA 后约  $1200 \text{ ms}$  内开始出现, 约  $800 \text{ ms}$  内达到峰值, 无明显的脱敏反应 (图 3a)。量效关系曲线呈 “S” 型, 产生阈值电流反应的 GABA 浓度为  $0.01 \text{ mmol/L}$ , 饱和浓度接

为了鉴别河蟹眼柄神经内分泌细胞对 GABA 反应而产生去极化电位的过程是否有钙离子和钠离子参与, 在进行 GABA 灌流前, A、B、C 三种类型细胞首先与钙离子通道阻断剂  $\text{Cd}^{2+}$  ( $0.5 \text{ mol/L}$ ) 和钠离子通道阻断剂 TTX ( $5 \mu\text{mol/L}$ ) 孵育  $20 \text{ min}$ 。结果表明, 三种类型细胞的去极化反应均不受 TTX ( $n=3$ ) 和  $\text{Cd}^{2+}$  ( $n=4$ ) 的影响 ( $P>0.05$ )。

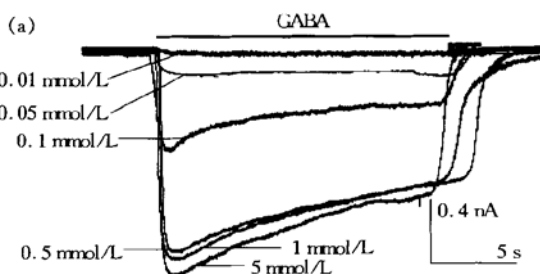


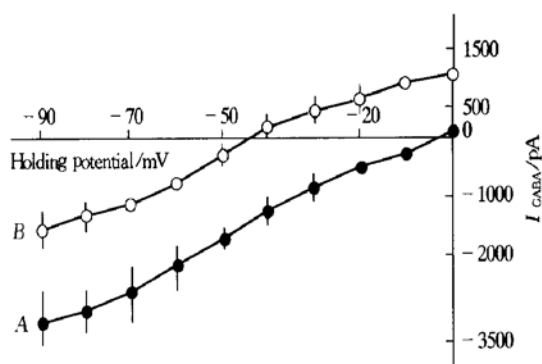
近  $0.5 \text{ mmol/L}$  (图 3b)。由电流电压关系曲线 (图 4A) 可知,  $I_{\text{GABA}}$  没有整流特征, 反转电位为  $-2 \text{ mV}$ , 接近 Nernst  $\text{Cl}^-$  电位 ( $-4 \text{ mV}$ )。通过使用不同  $E_{\text{Cl}}$  的低浓度  $\text{Cl}^-$  细胞内液, 进一步证明  $I_{\text{GABA}}$  的反转电位与电极内外液中氯离子的比例相关 (图 4B)。又由于  $I_{\text{GABA}}$  对氯离子通道阻断剂 PTX 和 NIA 敏感 (详见 2.3), 而且  $\text{Na}^+$  和  $\text{Ca}^{2+}$  没有参与 GABA 诱导的去极化过程, 证明 GABA 激活河蟹眼柄神经内分泌细胞  $\text{Cl}^-$  通道电流。



**Fig. 3 Responses of cultured type A neurons in the eyestalk of *Eriocheir sinensis* to a series of GABA at the holding potential of  $-50 \text{ mV}$  under whole cell patch clamp**

(a) Inward currents recorded in the type A neurosecretory cell in the MTXO of *Eriocheir sinensis* in response to a series of GABA concentration ( $0.01 \sim 0.05 \text{ mmol/L}$ )。 (b) plot of peak GABA current versus GABA concentration (log scale)。





**Fig 4 The corresponding  $I$ - $V$  curves of GABA currents recorded from cell type A at the holding potential from 0~90 mV**

The high  $\text{Cl}^-$  intracellular solution ( $A$ ,  $E_{\text{Cl}} = 4 \text{ mV}$ ) and low  $\text{Cl}^-$  intracellular solution ( $B$ ,  $E_{\text{Cl}} = 45 \text{ mV}$ ) were used. It was revealed that reversal potentials followed Nernst  $\text{Cl}^-$  potentials.

### 2.3 GABA 受体的药理学特征

上述结果表明, 河蟹眼柄 MTXO 神经内分泌细胞 GABA 受体是氯通道蛋白。为进一步鉴定 MTXO 细胞 GABA 受体的特征和类型, 我们观察了在哺乳动物和其他无脊椎动物中鉴定的典型  $\text{GABA}_A$  和  $\text{GABA}_C$  受体的激动剂和拮抗剂对河蟹眼柄 MTXO 细胞  $I_{\text{GABA}}$  的影响。结果表明, 河蟹眼柄 MTXO 三种类型神经内分泌细胞 GABA 受体均对 PTX 和 NIA 敏感。0.5 mmol/L 的 PTX 和 NIA 分别抑制 A 型细胞  $I_{\text{GABA}}$  ( $41 \pm 8\%$  ( $n = 8$ )) 和 ( $17 \pm 3\%$  ( $n = 8$ )), B 型细胞 ( $57 \pm 5\%$  ( $n = 5$ )) 和 ( $28 \pm 2\%$  ( $n = 6$ ))。另外, 甚至在细胞外液中添加  $\text{GABA}_A$  受体拮抗剂 Bicuculline 的浓度达到  $100 \mu\text{mol/L}$ , 河蟹眼柄 MTXO 神经内分泌细胞 GABA 电流的幅值也没有受到明显的影响。CACA 和 TACA 是典型的  $\text{GABA}_C$  受体激动剂, 但河蟹眼柄 MTXO 三种细胞均未对 TACA (1 mmol/L) 和 CACA (1 mmol/L) 产生反应。

### 3 讨 论

眼柄 XO-SG 神经内分泌系统一直是甲壳动物内分泌研究的重点内容。Iwasaki 等<sup>[12]</sup>首先报道克氏原螯虾眼柄 X 器官神经细胞存在 PTX 抑制性突触后电位。通过充灌  $\text{KCl}$  的胞内电极记录, Nagano<sup>[13]</sup>发现 GABA 抑制热带地蟹眼柄 XO 细胞的自发性电活动。Garcia<sup>[7]</sup>发现 GABA 仅对初始静息电位在  $-60 \text{ mV}$  以下的淡水螯虾眼柄 XO 细胞产生兴奋作用。河蟹眼柄 XO 神经内分泌细胞主要分布在眼柄视神经节端髓腹面基部外侧。GABA 通过

激活 MTXO 细胞的氯离子通道蛋白受体, 调控河蟹眼柄神经内分泌的兴奋性和分泌活动。虽然 GABA 电流能明显地被氯离子通道阻断剂 PTX 抑制, 但它对 PTX 的亲和力明显低于哺乳动物的  $\text{GABA}_A$  受体, 而且对典型的  $\text{GABA}_A$  受体的竞争性拮抗剂 Bicuculline 不敏感。另外, 典型的  $\text{GABA}_C$  的选择性激动剂 CACA 和 TACA 未能诱导河蟹眼柄 MTXO 细胞产生去极化或超级化反应。这些药理学特征表明, 河蟹眼柄神经内分泌细胞 GABA 受体在结构上明显不同于哺乳动物  $\text{GABA}$   $\text{Cl}^-$  通道蛋白受体, 不存在与  $\text{GABA}_A$  和  $\text{GABA}_C$  受体一些典型的激动剂和拮抗剂的敏感结合位点, 其电生理学和药理学特征与其他一些无脊椎动物 GABA 的  $\text{Cl}^-$  通道蛋白受体相似。在作者掌握的文献范围, 这是首次全面观察 GABA 对甲壳动物眼柄神经内分泌细胞的作用。Duan 等<sup>[8]</sup>认为, GABA 可能作为激素性的调节因子调控甲壳动物 XO 的活动, 其根据是热带地蟹血淋巴中 GABA 的含量高于阈值, 并且高于神经和肌肉组织。另一些实验观察结果表明<sup>[13, 14]</sup>, GABA 作为突触递质调控甲壳动物眼柄 XO-SG 系统的生理活动。在组织、细胞学研究方面, 作者未在河蟹眼柄 XO-SG 中发现 GABA 活性的突触结构, 而且 GABA 对河蟹眼柄 MTXO 细胞的作用存在很强的浓度依赖性。这似乎支持 Duan 等的观点, 但关于 GABA 是作为递质还是作为激素性因子调节河蟹眼柄 XO 的活动还需进一步研究。

**致谢** 承蒙美国夏威夷大学 Chang 教授和香港大学 Chen 教授馈赠抗血清, 特此致谢。

### 参 考 文 献

- 1 Bowery N G.  $\text{GABA}_B$  receptor pharmacology. *Annu Rev Pharmacol Toxicol*, 1993, **33**: 109~147
- 2 Bormann J, Feigenspan A.  $\text{GABA}_C$  receptors. *Trends Pharmacol Sci*, 1995, **16** (12): 515~519
- 3 Sieghart W. Structure and pharmacology of aminobutyric acid receptor subtypes. *Pharmacol Rev*, 1995, **47** (2): 181~224
- 4 Jackel C, Krenz W D, Nagy F. Bicuculline/baclofen insensitive GABA response in crustacean neurons in culture. *J Exp Biol*, 1994, **191** (1): 167~193
- 5 Swensen A M, Golowasch J, Christie A E, et al. GABA and responses to GABA in the stomatogastric ganglion of the crab *Cancer borealis*. *J Exp Biol*, 2000, **203** (14): 2075~2092
- 6 Keller R. Crustacean neuropeptides structure, function and comparative aspects. *Experientia*, 1992, **48** (5): 439~448
- 7 Garcia U, Onetti C, Valdiosera R, et al. Excitatory action of aminobutyric acid (GABA) on crustacean neurosecretory cells. *Cell*

- Mol Neurobiol, 1994, **14** (1): 71~ 78
- 8 Duan S M, Cooke I M. Glutamate and GABA activate different receptors and conductances in crab peptide secretory neurons. J Neurophysiol, 2000, **83** (1): 31~ 37
- 9 孙金生, 刘安西, 陈家童, 等. 河蟹眼柄 MTXO 神经分泌细胞的培养和细胞学研究. 水生生物学报, 2000, **24** (4) : 374~ 379  
Sun J S, Liu A X, Chen J T, et al. Acta Hydrobiologica Sinica, 2000, **24** (4): 374~ 379
- 10 孙金生, 刘安西, 杜育哲, 等. 中华绒螯蟹窦腺的显微和超微结构. 动物学报, 2001, **47** (1): 27~ 31  
Sun J S, Liu A X, Du Y Z, et al. Acta Zoologica Sinica, 2001, **47** (1): 27~ 31
- 11 孙金生, 刘安西, 陈家童, 等. 河蟹眼柄 MTXO 细胞离子通道的膜片钳研究. 生物体物理学报, 2001, **17** (2): 231~ 238  
Sun J S, Liu A X, He B J, et al. Acta Biophysica Sinica, 2001, **17** (2): 231~ 238
- 12 Iwasaki S, Satow Y. Sodium- and calcium-dependent spike potentials in the secretory neuron soma of the crayfish. J Gen Physiol, 1971, **57** (2): 216~ 237
- 13 Nagano M. Regional inhibitory effects of 5-HT and GABA on the spontaneous electrical activity of a crab neurosecretory system. Biomed Res, 1986, **7** (3): 267~ 277
- 14 Arechiga H, Garcia U, Martinez Millan L. Frontiers in Crustacean Neurobiology. Basel: Birkhauser, 1990. 373~ 380

## Study on The GABA Gated Channels in The Neurosecretory Cells of MTXO in The Eyestalks of *Eriocheir sinensis*<sup>\*</sup>

SUN Jin-Sheng<sup>1,2)</sup>, GAO Chun-Lei<sup>1)</sup>, XIANG Jian-Hai<sup>1) \*\*</sup>

(<sup>1</sup>) Institute of Oceanology, The Chinese Academy of Sciences, Qingdao 266071, China;

(<sup>2</sup>) College of Chemistry and Life Sciences, Tianjin Normal University, Tianjin 300074, China)

**Abstract** The responses to rapid application of  $\gamma$ -aminobutyric acid (GABA) and the GABA receptor characteristics of MTXO neurosecretory cells in the eyestalks of Chinese mitten-handed crab (*Eriocheir sinensis*) were examined by whole-cell patch clamp. Under current clamp mode, the depolarization and hyperpolarization were evoked from the three types of neurosecretory cells in response to the GABA (0.1 mmol/L) depending on the Nernst Cl<sup>-</sup> potential. Under voltage clamp mode, the inward Cl<sup>-</sup> channel currents ( $I_{GABA}$ ) were resolved from all three types of neurosecretory cells in response to GABA (0.01~ 5 mmol/L). The GABA currents were activated within 1 200 ms and peaked within 800 ms. No obviously desensitization was observed during GABA application. The dose-response curve showed usual S-shape, with a just-discernible effect at 0.01 mmol/L and near-saturation at 0.5 mmol/L. The GABA currents had reversal potentials that followed Nernst Cl<sup>-</sup> potentials when [Cl<sup>-</sup>] was varied. The pharmacological results revealed that the GABA receptor of the crab neurosecretory cells was sensitive to the Cl<sup>-</sup> channel blockers picrotoxin and niflumic acid (0.5 mmol/L), insensitive to GABA<sub>A</sub> receptor antagonist bicuculline and GABA<sub>C</sub> receptor agonist *cis*-4-aminocrotonic acid (CACA 1 mmol/L) and *trans*-4-aminocrotonic (TACA 1 mmol/L).

**Key words** *Eriocheir sinensis*, MTXO, neurosecretory cells,  $\gamma$ -aminobutyric acid (GABA), whole-cell patch clamp technique

\* This work was supported by grants from The National Natural Sciences Foundation of China (30271019) and The National Key Fundamental Research Program (G1999012007).

\*\* Corresponding author. Tel: 86-532-2862223, E-mail: jhxiang@ms.qdio.ac.cn

Received: August 16, 2002 Accepted: September 28, 2002